

УДК 681.3

Т.А. Рузова, канд. техн. наук,
А.П. Толстопят, канд. техн. наук, ст. научн. сотр.,
Л.А. Флеер

Дніпропетровський національний університет
ім. О. Гончара, г. Дніпропетровськ, Україна,
e-mail: ruzov1973@bk.ru

ЭФФЕКТИВНОСТЬ ГАЗОЖИДКОСТНОГО ВЗАИМОДЕЙСТВИЯ ПРИ ДУТЬЕ ПОГРУЖНЫМИ ФУРМАМИ

Т.А. Ruzova, Cand. Sci. (Tech.),
A.P. Tolstopyat, Cand. Sci. (Tech.),
Senior Research Fellow,
L.A. Fleyer

O. Gonchar Dnepropetrovsk National University,
Dniproptetrovsk, Ukraine, e-mail: ruzov1973@bk.ru

EFFICIENCY OF GAS-LIQUID INTERACTION AT IMMERSIBLE TUYER BLOWING

Газожидкостное взаимодействие является одним из основных в ряде технологических процессов.

Цель. Определение наиболее эффективного дутьевого фурменного устройства, обеспечивающего более развитую межфазовую поверхность в системе „газ-жидкость“ при наиболее спокойной ванне.

Методика. Экспериментальное исследование газожидкостного взаимодействия проводилось на прозрачной модели технологического аппарата. Модельная жидкость – вода, модельный газ – воздух (расход – $0,4 \div 2,0 \text{ м}^3/\text{ч}$). Дутьевое устройство с V-наконечником (угол 90° между соплами наконечника фурмы) и одиночное (угол отклонения сопла наконечника 45° от оси фурмы) погружено в жидкость. Регистрация процесса велась на видеокамеру (VPC-HD1000 с затвором $\sim 1/10000\text{с}$, 60 кадр/сек) в проходящем свете. Полученный видеоматериал обрабатывался на компьютере, в результате чего были определены аналоги газосодержания, фазовой поверхности и коэффициенты неравномерности распределения этих параметров в диаметральном сечении аппарата. Видеосъемка также дала прямую регистрацию высоты всплесков жидкости на поверхности ванны.

Научная новизна. Проведено экспериментальное исследование по определению эффективности различных конструкций погружных дутьевых устройств и их положения (пристеночное и осевое положение одиночной фурмы и фурмы с V-наконечником) в технологическом аппарате.

Результаты. На основании анализа статистической обработки видеоизображений процесса установлено, что фурма с V-наконечником и фурма, смещенная от оси ковша, к его стенке, имеют заметное преимущество в сравнении с одиночной фурмой, установленной на оси ковша по большей части измеренных параметров видеоизображения, но фурма смещенная от оси несколько уступает фурме с V-наконечником.

Выявлены экстремальные всплески жидкости на поверхности ванны ($Q_g > 1,3 \text{ м}^3/\text{ч}$), которые наиболее выражены при центральной установке одиночной фурмы.

Практическая значимость. Результаты исследований применяются при разработке схем внепечной обработки металла в чугуновозных ковшах.

Ключевые слова: дутье в жидкость, обработка видеоизображения, фурма, газораспределение, всплески поверхности жидкости, осевая установка фурмы, пристеночная установка фурмы

Введение. Дутье газа в жидкость широко используется различными технологическими процессами в отраслях промышленности: в горнорудной– флотации, в металлургии – конвертерная выплавка стали и внепечная обработка металла в ковшах, в химической промышленности – реакторы различного назначения. В металлургии внепечная обработка давно стала в один ряд с основными металлургическими процессами. Последнее связано с тем, что включение внепечной обработки в цепочку металлургических переделов позволило как снизить удельные энергозатраты на тонну продукции, так и добиться более высокого качества металла в конце технологической цепочки. Вместе с тем ковшевая обработка металла, в свою

очередь, выдвигает ряд вопросов по повышению эффективности, которые требуют проведения исследований.

Постановка задачи. К одному из таких вопросов относится дутье газа в жидкость в ковше погружным дутьевым устройством (фурмой). В общем случае задачей такого дутья является введение в жидкость (в металл) различного рода дисперсных присадок, обеспечивающих получение металла требуемого качества (удаление серы, фосфора и т.п.), при одновременном повышении эффективности использования вдуваемых реагентов (высокая стоимость) и минимизации расхода дутьевого газа – носителя (переохлаждение металла в ковше).

Методы решения. Описание экспериментального стенда. Для решения этих задач нами были

проводены экспериментальные исследования по сравнению эффективности газового дутья фирмами устройствами различной конструкции и при различном положении их в ковше.

Эксперименты проводились на прозрачной модели чугуновозного ковша (рис.1) $D = 330$ мм, заполненном водой ($H_w = 300$ мм). Исследовались три варианта фурм, два из которых различались конструкцией трубы – погружным концом. Трубка (фурма) с наружным диаметром $d_H = 6$ мм устанавливалась по оси сосуда. Варьировались параметры наконечника фурмы (сопла).

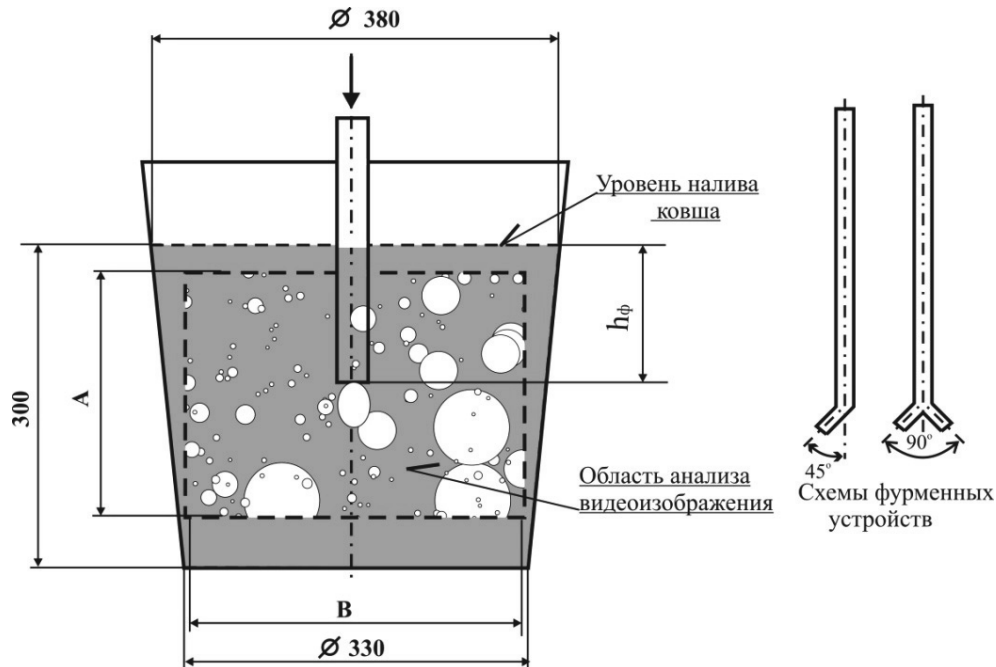


Рис.1. Схема экспериментальной установки

Рабочим газом служил воздух, подаваемый через фурму, заглубленную под зеркало жидкости на величину $h_f = 200$ мм. Расход газа в ходе экспериментов изменялся в диапазоне $0,4\text{--}2,0 \text{ м}^3/\text{ч}$. В указанном интервале расхода газа (Q_g) задавались 8–10 значений (примерно с равным шагом) этой величины, при которых исследовалось видеоизображение процесса газожидкостного взаимодействия.

В первом варианте конструкции наконечник являлся продолжением трубы с внутренним диаметром $d = 1,4$ мм и имел угол отклонения 45° от оси трубы. Во втором – представлял собой V-образный насадок, выполненный из двух патрубков $d = 1,0$ мм. Таким образом, площадь одиночного сопла первого наконечника была равна суммарной площади двух сопел V-образного насадка. Угол раствора между осями патрубков V-образного насадка составлял 90° , а плоскость раствора угла совпадала с диаметральной плоскостью цилиндрического сосуда.

Третий вариант состоял в том, что конструкция первого варианта с тем же заглублением – 200 мм, была перемещена в диаметральной плоскости сосуда к его стенке (120 мм от оси).

Основным инструментом настоящей работы является компьютерная обработка видеоизображения [1, 2], состоящая в выделении на видеоизображении исследуемого режима газожидкостного взаимодействия

оптических неоднородностей и их оцифровывании для дальнейшего анализа.

Видеозапись велась на цифровую видеокамеру VPC-HD1000 с затвором $\sim 1/10000$, 60 кадр/сек в проходящем свете – источник света, модель ковша и объектив камеры размещались на одной оси.

Видеозапись каждого режима процесса проводилась в течение 10 сек, за которые регистрировалось 600 кадров процесса.

Отснятые материалы по каждому из режимов далее подвергались компьютерной обработке специально разработанной программой анализа видеоизображений. Как отмечалось в [2], особенностью метода компьютерной обработки видеоизображения является исследование объемной картины как ее проекции на диаметральную плоскость исследуемой модели.

Обработка видеоизображений. Целью обработки изображений является получение распределений площадей (газосодержания S_g) и периметров (фазовой поверхности P_p) пузырей по диаметру ковша. Величины S_g и P_p отнесены к площади выделенного прямоугольника (объема ковша) – области обработки видеоизображения, причем газосодержание определено в процентах этой площади, а фазовая поверхность – как длина контура пузырей на единицу этой площади.

На рис. 2 представлены фотографии процесса дутья при заглубленном положении фурм при различных вариантах исполнения наконечника. Видно, что при одинаковом расходе дутья и центральном положении фурмы диспергация газа в объеме моде-

ли при V-образном насадке в 1,5–2 раза выше, чем в случае одиночного сопла. При всей тривиальности этого вывода количественную оценку здесь позволяет дать лишь компьютерная обработка видеоизображений.

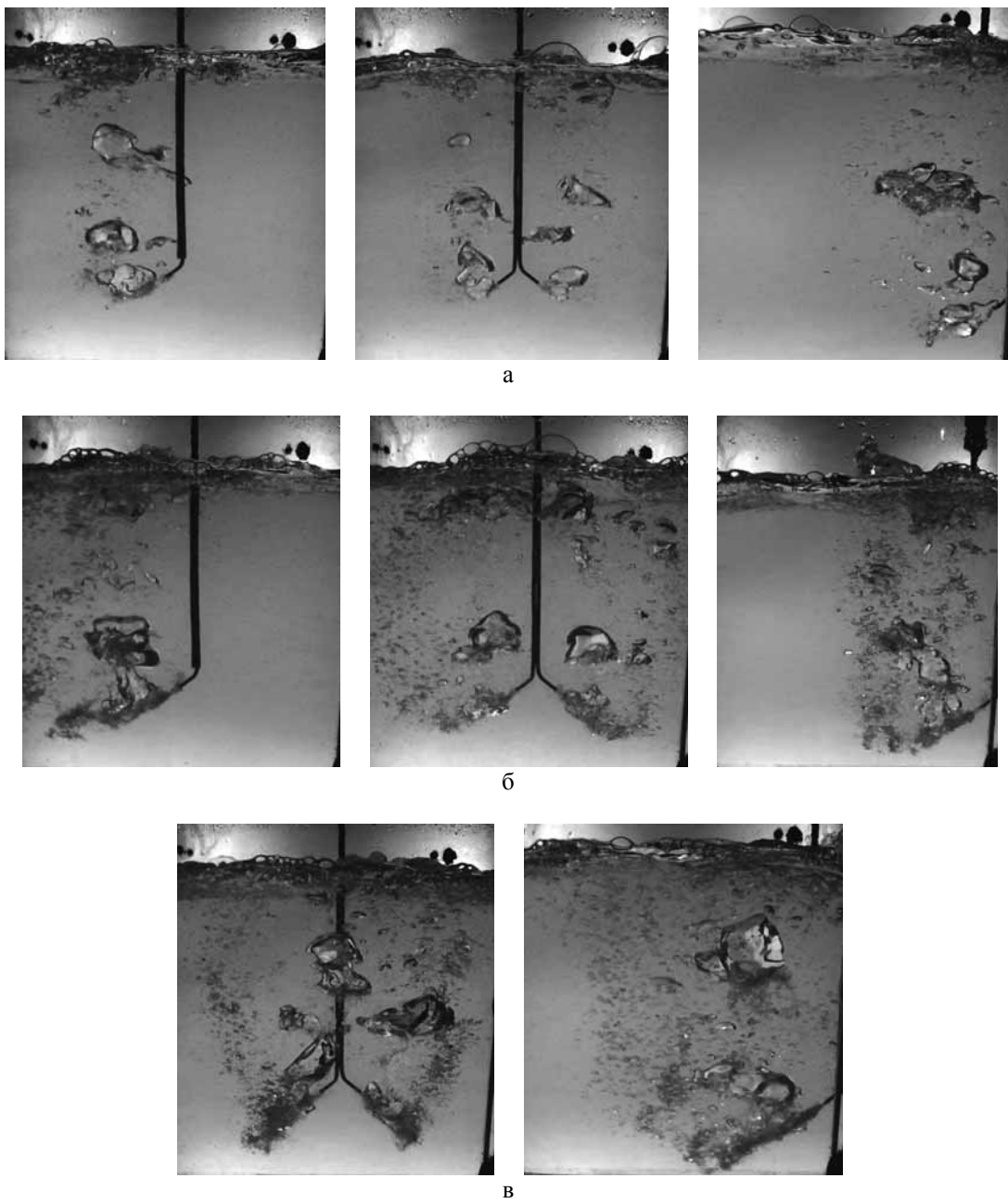


Рис. 2. Фотографии различных режимов и схем дутья: а – $Q_G = 0,8 \text{ м}^3/\text{ч}$; б – $Q_G = 1,5 \text{ м}^3/\text{ч}$; в – $Q_G = 1,8 \text{ м}^3/\text{ч}$

На рис. 3 и рис. 4 представлены результаты этой обработки. Видно, что величина S_G (рис. 3) во всем диапазоне изменения Q_G при V-образном насадке существенно выше соответствующей величины для одиночного сопла, установленного на оси ковша, и, практически, совпадает с ней в случае смещения

фурмы к стенке ковша. По величине неравномерности газосодержания (K_G) V-наконечник превосходит два других варианта (величина неравномерности меньше) и лишь при $Q_G \geq 1,8 \text{ м}^3/\text{час}$ (пристеночный вариант положения фурмы) достигает такого же малого значения K_G .

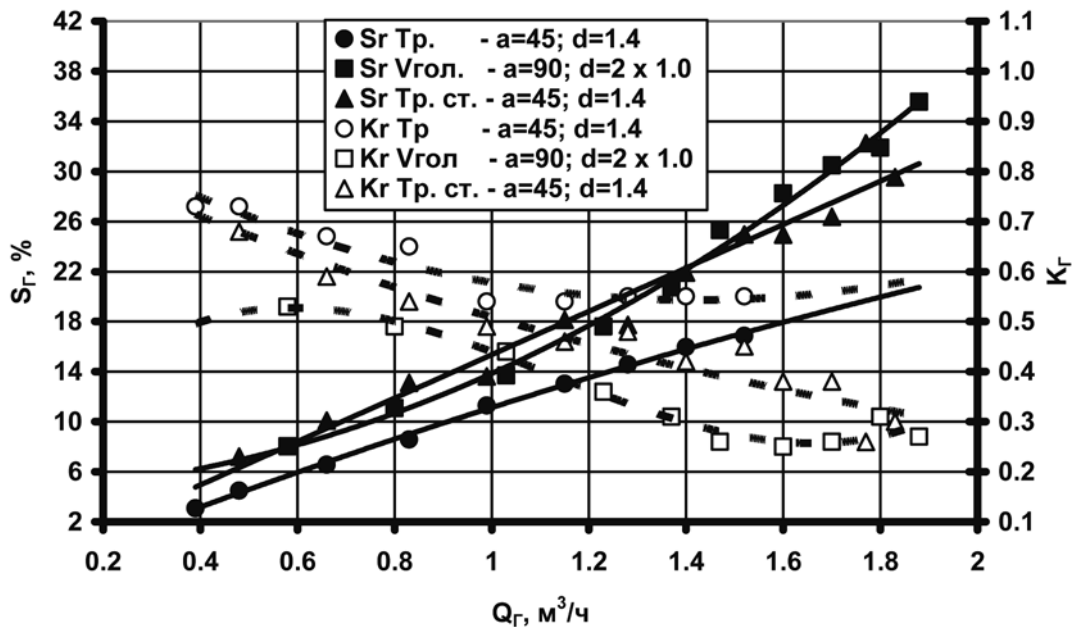


Рис. 3. Параметри газосодержання: S_r – газосодержання, Q_r – расход газа, K_r – коефіцієнт неравномерності газосодержання

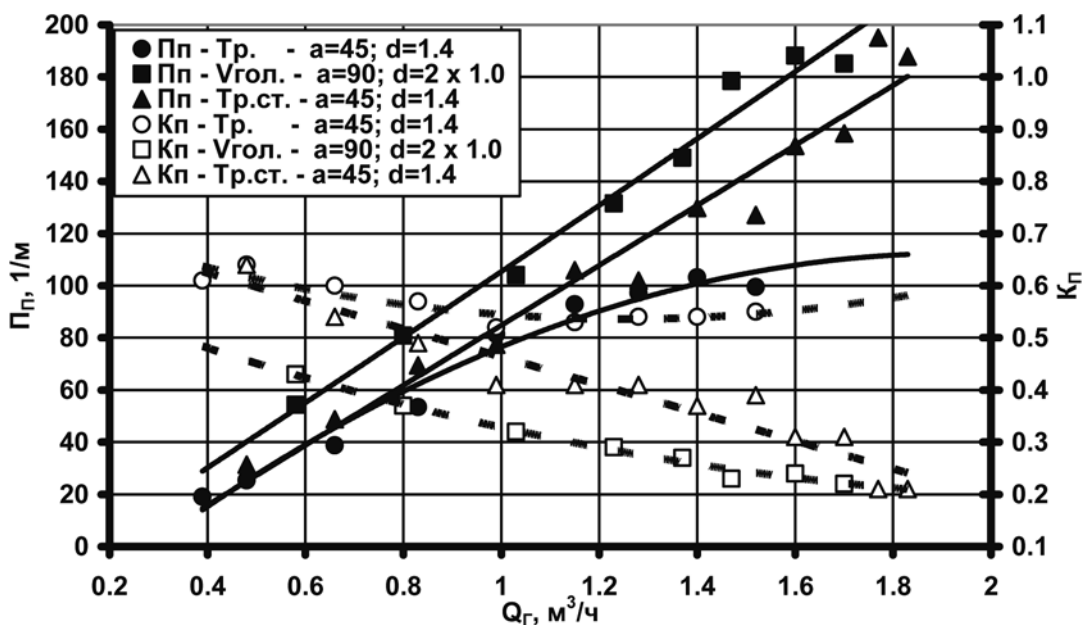


Рис. 4. Параметри фазової поверхні: Π_p – фазова поверхність; Q_r – расход газа; K_p – коефіцієнт неравномерності фазової поверхні

Здесь K_p – інтегральна величина неравномерності розподілення параметра (газораспределення, фазова поверхність) определена як

$$K_p = \frac{p_c - p}{p_c}, \text{ при } p < p_c,$$

де p_c – середнє значення параметра.

Величина K_p являється характеристичним параметром даної конструкції фурми – режима її роботи, і численно визначає якість ведення процесу або ефективність роботи фурменного

устройств. При $K_p \rightarrow 0$ досягається найбільша рівномерність розподілення параметра.

Следует отметить, что при центральном положении одиночной фурмы величина K_p в принципе не может быть меньше 0,5 вне зависимости от режима дутья, что видно на рис. 3 и рис. 4. В то же время два других варианта показывают снижения K_p с ростом расхода дутья (Q_r).

Рис. 4 дає представлення про характер залежності фазової поверхні від газожидкостного взаємодії. Якщо рис. 3 не показує зазначеного переважання V-наконечника по величині S_r , то на

рис. 4 видно, что величина Π_{Π} существенно выше, чем для пристеночного положения фурмы и тем более выше, чем при центральной установке последней.

На рис. 2 приведены также фотографии режима $Q_{\Gamma} = 1,8 \text{ м}^3/\text{час}$ для V-наконечника и пристеночного положения фурмы для наглядного представления о характере процесса, поскольку по результатам обработки (рис. 3 и рис. 4) измеряемые параметры (S_{Γ} , Π_{Π} , K_{Γ} , K_{Π}) здесь близки. Последнее можно отнести, вероятно, за счет структуры течения жидкости в ковше, которая способствует эффективной диспергации газа при заглубленном дутье.

На рис. 5 дано сравнение одиночной фурмы и V-наконечника в безразмерных комплексах, где

$$S'_{\Gamma} = S_{\Gamma-V} / S_{\Gamma-TP}; \quad \Pi'_{\Pi} = \Pi_{\Pi-V} / \Pi_{\Pi-TP}.$$

Здесь $S_{\Gamma-V}$ – газосодержание при работе V-наконечника; $S_{\Gamma-TP}$ – газосодержание при работе одиночного сопла; $\Pi_{\Pi-V}$ – периметры газовых образований при работе V-наконечника; $\Pi_{\Pi-TP}$ – периметры газовых образований при работе одиночного сопла.

На рис. 6 дано сравнение указанных вариантов по оценке величины фазовой поверхности (Φ) двумя методами:

$$\begin{aligned} \text{по } S_{\Gamma} \quad \Phi_{\Gamma} &= S_{\Gamma-V} / S_{\Gamma-TP}, \\ \text{по } \Pi_{\Pi} \quad \Phi_{\Pi} &= (\Pi_{\Pi-V} / \Pi_{\Pi-TP})^2. \end{aligned}$$

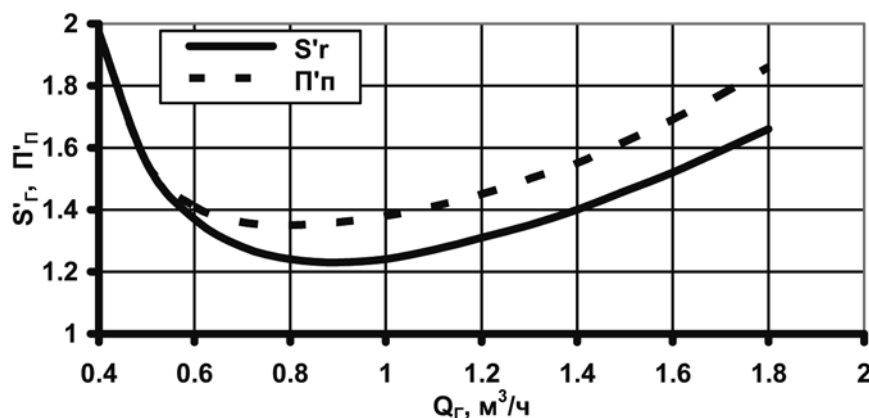


Рис. 5. Сравнение эффективности заглубленного дутья: S_r – параметр сравнения газосодержания фурм, Π_{Π} – параметр сравнения фазовой поверхности фурм

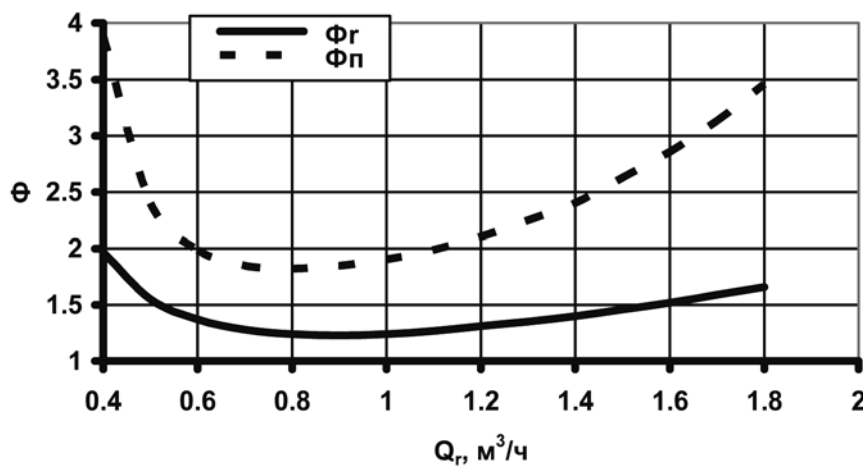


Рис. 6. Изменение поверхности раздела фаз: Φ_{Γ} – по газосодержанию; Φ_{Π} – по периметрам

Видно, что эффективность V-наконечника зависит от режима дутья и может в 1,5–3,0 раза быть выше, чем одиночного сопла.

Еще одним параметром, характеризующим работу фурменного устройства, является величина всплеска жидкости над зеркалом в ковше.

На рис. 7 даны наибольшие величины всплеска L_{BM} , зарегистрированные за время выдержки (600 с)

заданного значения параметра Q_{Γ} . Видно, что V-наконечник дает наименьшие величины L_{BM} во всем диапазоне расходов дутья. Это объясняется тем, что величины всплеска определяются величиной выходящего на поверхность жидкости пузыря. Величина последнего тем больше, чем больше диаметр сопла и расход дутья через сопло (при примерно постоянной частоте их отрыва ~ 10 Гц). Поскольку диаметр каж-

дого из сопел V-наконечника меньше одиночного сопла, а расход дуття на коже из сопел в 2 раза меньше, чем через одиночное сопло, то, соответственно этому, имеет место и меньший всплеск при работе V-наконечника.

Интересно, что в случае смещенного к стенке сопла имеем L_{BW} меньше, чем при его центральной установке, что объясняется большей степенью дисперсии газа в объеме жидкости (рис. 2) за счет измененной структуры течения в ковше.

Следует также отметить, что при сравнительно больших расходах дуття ($Q_\Gamma > 1,3 \text{ м}^3/\text{ч}$) наблюдаются экстремальные всплески жидкости, которые в 2–3 раза больше наиболее вероятных значений этой величины и зависят от конструкции фурмы и положения ее в ковше.

На рис. 8 даны наиболее вероятные значения всплеска в ковше (L_{BW}). Видно, что они в 2–3 раза меньше максимальных и практически одинаковы для исследованных вариантов заглубленного дуття.

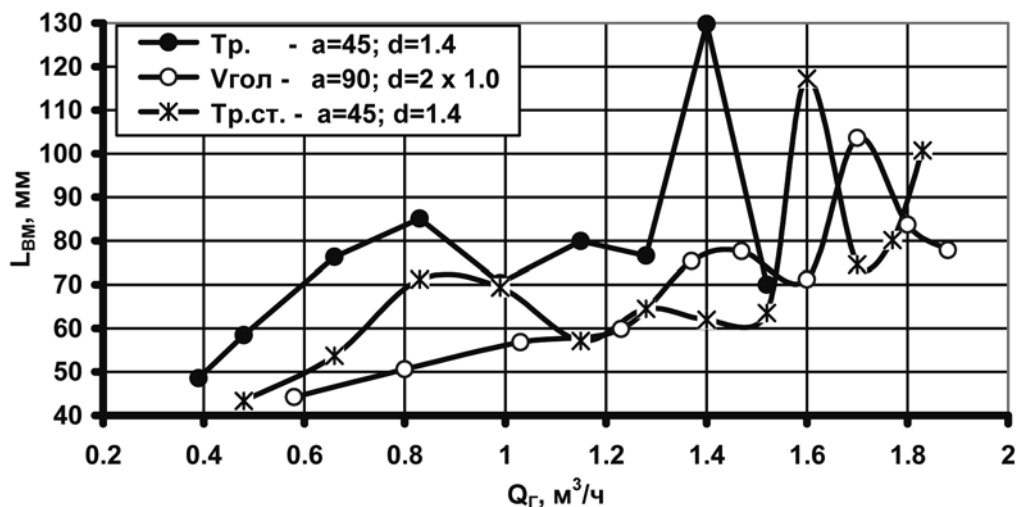


Рис. 7. Сравнение эффективности дуття по наибольшей величине всплеска: L_{BW} – выплеск максимальный

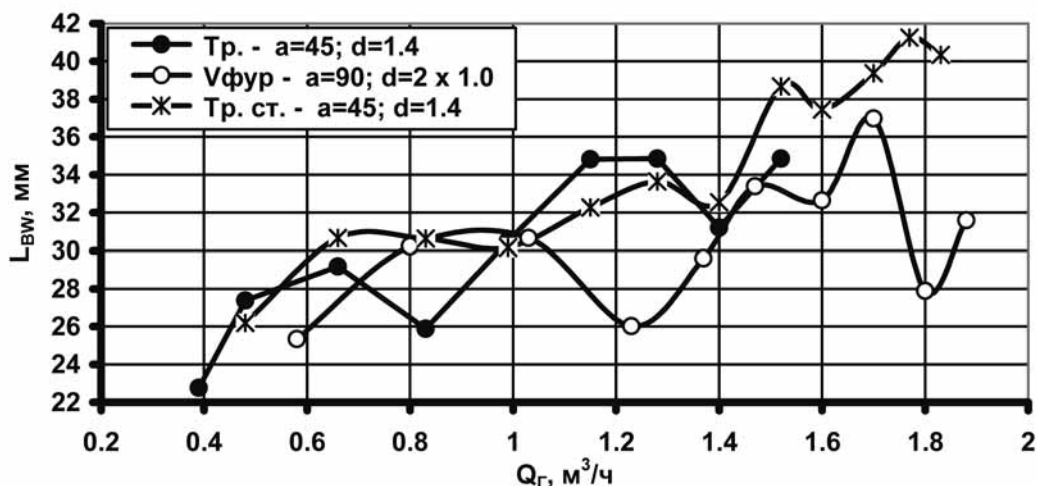


Рис. 8. Сравнение эффективности дуття по наиболее вероятной величине всплеска: L_{BW} – всплеск вероятный

Выводы. Авторами проведено экспериментальное исследование эффективности заглубленного дуття в жидкость в ковше при различных конструкциях дутьевого устройства и положении его в ковше. На основании анализа статистической обработки видеозображений процесса установлено:

– фурма с V-наконечником имеет заметное преимущество (по большей части измеренных параметров видеозображения – S_Γ , P_Γ , K_Γ , K_P , Φ , L_{BW}) в

сравнении с одиночной фурмой, установленной на оси ковша;

– фурма, смещенная от оси ковша к его стенке, несколько уступает фурме с V-наконечником, но имеет лучшие показатели, чем установленная по оси сосуда;

– выявлены экстремальные всплески на поверхности ванны ($Q_\Gamma > 1,3$), которые наиболее выражены при центральной установке одиночной фурмы.

Список літератури / References

1. Компьютерная обработка видеоизображений газовых пузырей в жидкости / [Рузова Т.А., Елисеев В.И., Толстопят А.П. и др.] // Оптические методы исследования потоков: труды IX международной научно-технической конференции. – М., 2007. – С. 48–49.

Ruzova, T.A., Yeliseyev, V.I., Tolstopyat, A.P. and Fleyer, L.A. (2007), "Computer processing videoimages gas bubbles in liquid", *papers of the 9th international scientific and technical conference "Optical methods of flow investigation"*, Moscow, pp. 48–49.

2. Компьютерная обработка кинограмм процесса взаимодействия газовых струй с жидкостью / [Рузова Т.А., Толстопят А.П., Шевченко А.Ф. и др.] // Науковий вісник Національного гірничого університету. – Дніпропетровськ, 2007. – №12.– С. 91–96

Ruzova, T.A., Tolstopyat, A.P., Shevchenko, A.F., Shevchenko, S.A. (2007), "Computer processing of interaction between gas jets and liquid", *Naukoviy visnyk Natsionalnoho hirnychoho universytetu*, Dnipropetrovsk, no. 12, pp. 91–96.

Газорідинна взаємодія є однією з основних у ряді технологічних процесів.

Мета. Визначення найбільш ефективного дуттєвого фурменого пристрою, що забезпечує більш розвинену міжфазову поверхню в системі „газ-рідина“ при найбільш спокійній ванні.

Методика. Експериментальне дослідження газорідинної взаємодії буде проведено на прозорій моделі технологічного апарату. Модельна рідина – вода, модельний газ – повітря (витрата – $0,4 \div 2,0 \text{ м}^3/\text{год}$). Дуттєвий пристрій з V-наконечником (кут 90° між соплами наконечника фурми) і одноочинний (кут відхилення сопла наконечника 45° від осі фурми) занурено в рідину. Реєстрація процесу велася на відеокамеру (VPC-HD1000 із затвором $\sim 1/10000$ с і частотою $1/60$ кадр/сек) у прохідному світлі. Отриманий відеоматеріал обробляється на комп’ютері, у результаті чого було визначено аналоги газовмісту, фазової поверхні й коефіцієнти нерівномірності розподілу цих параметрів у діаметральному перетині апарату. Відеозйомка також дала пряму реєстрацію висоти сплесків рідини на поверхні ванни.

Результати. На підставі аналізу статистичної обробки відеозображені процесу встановлено, що фурма з V-наконечником і фурма, зміщена від осі ковша до його стінки, мають помітну перевагу в порівнянні з одноочиною фурмою, встановленою на осі ковша по більшій частині обмірюваних параметрів відеозображення, але фурма зміщена від осі трохи уступає фурмі з V-наконечником.

Виявлено екстремальні сплески рідини на поверхні ванни ($Q_g > 1,3 \text{ м}^3/\text{год}$), що найбільш виражені при центральному встановленні одноочиної фурми.

Наукова новизна. Проведено експериментальне дослідження з визначення ефективності різних конструкцій заглибних дуттєвих пристройів і їх положення (пристінкове й осьове положення одноочиної фурми й фурми з V-наконечником) у технологічному апараті.

Практична значимість. Результати дослідження застосовуються при розробці схем позапічної обробки металу в чавуновозних ковшах.

Ключові слова: дуття в рідину, обробка відеозображення, фурма, газорозподіл, сплески поверхні рідини, осьове встановлення фурми, пристінкове встановлення фурми

Interaction between liquid and gas is basic in wide range of technological processes.

Purpose. To determine the most efficient blowing tuyere unit to provide the more developed interphase surface in gas-liquid system at the most quiet bath.

Methodology. We have done the experimental investigation of liquid-gas interaction at the transparent model of technological unit. Water acted as model liquid, and air acted as model gas (consumption – $0.4 \div 2.0 \text{ m}^3/\text{h}$). Blowing V-tip unit (angle between tuyere tip nozzles is 90°) and the single one (deviation angle of tip's nozzle from tuyere axe is 45°) are submerged in liquid. Process recording has been realized by camcorder (VPC-HD1000, shutter speed $\sim 1/10000$, 60 fps) in transmitted light. Obtained video has been processed on computer to determine gas content and phase surface analogs and irregularity factor of their distribution in diametrical cross-section of the unit. Direct recording of liquid spatter height at the bath surface has been done by video filming.

Findings. On the ground of statistical treatment analysis of the process video-images we have determined that V-tip tuyere and tuyere shifted from ladle axe to its wall have significant advantage in comparison with the single tuyer placed at the ladle axe according to the majority of measured parameters of video-images. But the tuyere shifted from ladle axe appears worse than V-tip one.

We have detected extreme liquid spatters on the bath surface ($Q_g > 1.3 \text{ m}^3/\text{h}$), which appear when the single tuyere has central position.

Originality. We have carried out the experimental investigation to determine efficiency of blowing units of different construction and position (near-wall and axial position of the single tuyere and V-tip tuyere) in technological unit.

Practical value. Investigation results are used at developing schemes of out-of-furnace metal working in hot-metal ladle cars.

Keywords: blowing in liquid, video-image processing, tuyere, gas distribution, spatter on liquid surface, axial tuyere position, near-wall tuyere position

Рекомендовано до публікації докт. техн. наук В.І. Корпуном. Дата надходження рукопису 23.04.12.